

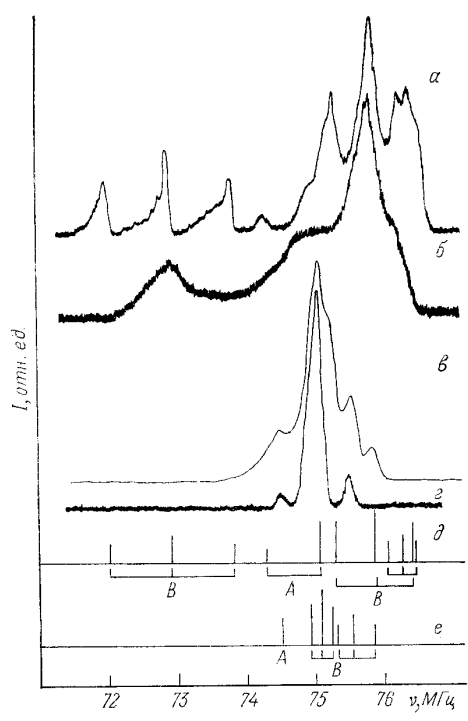
ИССЛЕДОВАНИЕ РАСПРЕДЕЛЕНИЯ ИОНОВ Cr^{3+} В $\text{Li}_{0.5}\text{Fe}_{2.5-x}\text{Cr}_x\text{O}_4$ МЕТОДОМ ЯМР

*Г. Н. Абеляшев, В. В. Мальнев, В. Н. Селезнев,
Н. А. Сергеев, Ю. В. Федотов*

Распределение ионов Cr^{3+} в литий-хромовом феррите $\text{Li}_{0.5}\text{Fe}_{2.5-x}\text{Cr}_x\text{O}_4$ по тетраэдрическим *A*-позициям и октаэдрическим *B*-позициям исследовалось ранее в [1-3]. Гортер [1], анализируя данные по намагниченности насыщения, сделал вывод о том, что ионы хрома занимают только октаэдрические *B*-позиции. Исследования с помощью эффекта Мессбауэра на ядрах ^{57}Fe подтвердили этот вывод [2, 3]. Надо отметить, что оба метода исследования катионного распределения носят косвенный характер. Более прямым методом исследования распределения ионов хрома

в $\text{Li}_{0.5}\text{Fe}_{2.5-x}\text{Cr}_x\text{O}_4$ является метод ядерного магнитного резонанса (ЯМР). Ядра ^{53}Cr помимо магнитного момента обладают также электрическим квадрупольным моментом. В связи с этим спектры ЯМР ядер ^{53}Cr в позициях *A* и *B* должны иметь существенно различный вид. В настоящем сообщении приведены экспериментальные результаты исследования распределения ионов хрома в литий-хромовом феррите методом ЯМР.

Эксперименты проводились при 4.2 К на импульсном спектрометре ЯМР. В $\text{Li}_{0.5}\text{Fe}_{2.5-x}\times\text{Cr}_x\text{O}_4$ помимо ядер хрома имеются ядра ^{57}Fe , спектр



Спектры ЯМР ^{53}Cr в литиевом феррите.

α, β — образец $\text{Li}_{0.5}\text{Fe}_{2.5-x}\text{Cr}_x\text{O}_4$; *α* — $V_{2\tau}(\nu)$, $M \parallel \langle 111 \rangle$; *β* — $V_{4\tau}(\nu)$, $M \parallel \langle 111 \rangle$; *γ* — образец $\text{Li}_{0.5}\text{Fe}_{2.5-x}\text{Cr}_x\text{O}_4$, легированый кобальтом; *δ* — $V_{2\tau}(\nu)$, $M \parallel \langle 100 \rangle$; *ε* — расчетные частотные положение и интенсивности линий ЯМР при $M_s \parallel \langle 111 \rangle$ (*δ*) и $M_s \parallel \langle 110 \rangle$ (*ε*). Для *A*-позиций при $M_s \parallel \langle 111 \rangle$ указаны только центральные линии триплетов.

ЯМР которых лежит в том же диапазоне частот, что и спектр ЯМР ядер ^{53}Cr . Поэтому, для того чтобы исключить из суперпозиционного спектра ЯМР линии, относящиеся к ядрам ^{57}Fe , использовались монокристаллические образцы, содержащие только немагнитный изотоп ^{56}Fe . При 4.2 К намагниченность M в доменах в литиевом феррите направлена вдоль осей типа $\langle 111 \rangle$ [4]. При легировании образца ионами кобальта (0.1 вес. %) намагниченность в доменах меняет направление на $\langle 100 \rangle$ [4]. Нами экспериментально исследовались образцы как с $M \parallel \langle 111 \rangle$, так и с $M \parallel \langle 100 \rangle$. Регистрировались частотные зависимости амплитуд двухимпульсных эхо, возникающих в моменты времени 2τ ($V_{2\tau}(\nu)$) и 4τ ($V_{4\tau}(\nu)$). В [5] показано, что спектр $V_{2\tau}(\nu)$ отражает как магнитное сверхтонкое взаимодействие (СТВ), так и квадрупольное СТВ ядра. Спектр $V_{4\tau}(\nu)$ отражает

Таблица 1
 Банд тензоров СТВ магнитного и квадрупольного (КЭП) ядра ^{43}Cr , частотного положения и интенсивности спектральных линий ЯМР для A^* и B^* -переводов при $\mathbf{M}_s \parallel \langle 111 \rangle$ и $\mathbf{M}_s \parallel \langle 100 \rangle$

Фирма производителя GEM	Банд тензоров СТВ *	ГЭП	Частотное положение и интенсивность I спектральных линий					
			$\mathbf{M}_s \parallel \langle 111 \rangle$			$\mathbf{M}_s \parallel \langle 100 \rangle$		
			$V_{xx} (\nu)$	I	$V_{zz} (\nu)$	I	$V_{xx} (\nu)$	I
A	3	$\begin{vmatrix} \gamma_{0A} & \gamma_a & \gamma_a \\ \gamma_a & \gamma_{0A} & \gamma_a \\ \gamma_a & \gamma_a & \gamma_{0A} \end{vmatrix}$ $\begin{vmatrix} 0 & \gamma_q & \gamma_q \\ \gamma_q & 0 & \gamma_q \\ \gamma_q & \gamma_q & 0 \end{vmatrix}$	$\gamma_{0A} + 2\gamma_a - \gamma_q$	9	$\gamma_{0A} + 2\gamma_a$	3	γ_{0A}	1
			$\gamma_{0A} + 2\gamma_a$	12	$\gamma_{0A} + 2\gamma_a$	3	γ_{0A}	1
			$\gamma_{0A} + 2\gamma_a + \gamma_q$	9				
			$\gamma_{0A} - 2\gamma_a/3 - \gamma_q/3$	3	$\gamma_{0A} - 2\gamma_a/3$	1	γ_{0A}	1
			$\gamma_{0A} - 2\gamma_a/3$	4	$\gamma_{0A} - 2\gamma_a/3$	1	$\gamma_{0B} + 2\gamma_d + \gamma_{q0}$	3
			$\gamma_{0A} - 2\gamma_a/3 + \gamma_q/3$	3	$\gamma_{0B} - 2(2\gamma_1 + \gamma_2)/3 - (2\gamma_{q1} + \gamma_{q2})/3$	3	$\gamma_{0B} + 2\gamma_d + \gamma_{q0}$	3
			$\gamma_{0B} - 2(2\gamma_1 + \gamma_2)/3 - 2(2\gamma_1 + \gamma_2)/3$	3	$\gamma_{0B} - 2(2\gamma_1 + \gamma_2)/3$	4	$\gamma_{0B} + 2\gamma_d$	4
			$\gamma_{0B} - 2(2\gamma_1 + \gamma_2)/3 + (2\gamma_{q1} + \gamma_{q2})/3$	3	$\gamma_{0B} - 2(2\gamma_1 + \gamma_2)/3 + (2\gamma_{q1} + \gamma_{q2})/3$	4	$\gamma_{0B} + 2\gamma_d$	4
			$\gamma_{0B} + 2(2\gamma_1 - \gamma_2)/3 - (2\gamma_{q1} - \gamma_{q2})/3$	3	$\gamma_{0B} + 2(2\gamma_1 - \gamma_2)/3$	3	$\gamma_{0B} + 2\gamma_d - \gamma_{q0}$	3
			$\gamma_{0B} + 2(2\gamma_1 - \gamma_2)/3 - 2(2\gamma_1 - \gamma_2)/3$	3	$\gamma_{0B} + 2(2\gamma_1 - \gamma_2)/3$	4	$\gamma_{0B} - \gamma_d - \gamma_{q0}/2$	6
B	2	$\begin{vmatrix} \gamma_{0B} + \gamma_d & \gamma_1 & \gamma_2 \\ \gamma_1 & \gamma_{0B} - 2\gamma_d & \gamma_1 \\ \gamma_2 & \gamma_1 & \gamma_{0B} + \gamma_d \end{vmatrix}$ $\begin{vmatrix} \gamma_{q0} & \gamma_{q1} & \gamma_{q2} \\ \gamma_{q1} - 2\gamma_{q0} & \gamma_1 & \gamma_1 \\ \gamma_{q2} & \gamma_{q1} & \gamma_{q0} \end{vmatrix}$	$\gamma_{0B} + 2\gamma_d/3 - \gamma_{q2}/3$	6	$\gamma_{0B} + 2\gamma_2/3$	2	$\gamma_{0B} - \gamma_d + \gamma_{q0}/2$	6
			$\gamma_{0B} + 2\gamma_d/3$	8	$\gamma_{0B} + 2\gamma_2/3$	8	$\gamma_{0B} - \gamma_d$	2
			$\gamma_{0B} + 2\gamma_2/3 + \gamma_{q2}/3$	6	$\gamma_{0B} - \gamma_d + \gamma_{q0}/2$	6	$\gamma_{0B} - \gamma_d$	2
			$\gamma_{0B} + 2\gamma_2/3 + \gamma_{q2}/3$	6				

* В системе координат, в которой оси параллельны направлениям $\langle 100 \rangle$, $\langle 010 \rangle$, $\langle 001 \rangle$.

только магнитное СТВ. На рисунке приведены экспериментальные спектры $V_{2\tau}(\nu)$ и $V_{4\tau}(\nu)$ для образцов литиевого феррита с $\mathbf{M} \parallel \langle 111 \rangle$ и $\mathbf{M} \parallel \langle 100 \rangle$.

Результаты проведенного нами теоретического анализа вида тензоров СТВ магнитного и квадрупольного ядер ^{53}Cr представлены в табл. 1. Там же приведены частотные положения и интенсивности спектральных линий ЯМР при $\mathbf{M} \parallel \langle 111 \rangle$ и $\mathbf{M} \parallel \langle 100 \rangle$ для A - и B -позиций.

Из табл. 1 следует, что если ионы Cr^{3+} занимают только B -позиции, то в спектре ЯМР $V_{4\tau}(\nu)$ при $\mathbf{M} \parallel \langle 100 \rangle$ должны наблюдаться две линии с соотношением интенсивностей 1 : 2. Действительно (см. рисунок, г) в спектре $V_{4\tau}(\nu)$ наблюдаются не две, а три линии. Наличие в спектре $V_{4\tau}(\nu)$ третьей низкочастотной линии нельзя объяснить наличием в образце остаточного количества магнитного изотопа ^{57}Fe , так как этот изотоп имеет спин, равный $1/2$, и не может давать вклад в формирование эха в момент времени 4τ [5]. Эта линия также не может быть обусловлена резонансом ядер ^{59}Co , так как резонансные частоты этих ядер в $\text{Li}_{0.5-y/2}\text{Fe}_{2.5-y/2}\text{Cr}_x\text{O}_4$ лежат в диапазоне частот 300—330 МГц [6]. Следовательно, наличие третьей низкочастотной линии в спектре $V_{4\tau}(\nu)$ при $\mathbf{M} \parallel \langle 100 \rangle$ указывает на то, что ионы хрома в $\text{Li}_{0.5}\text{Fe}_{2.5-x}\text{Cr}_x\text{O}_4$ занимают не только октаэдрические B -позиции, но и тетраэдрические A -позиции.

Результаты анализа экспериментальных спектров $V_{2\tau}(\nu)$, $V_{4\tau}(\nu)$ при $\mathbf{M}_s \parallel \langle 111 \rangle$ и $\mathbf{M}_s \parallel \langle 100 \rangle$ с привлечением данных табл. 1 приведены на рисунке, д, е и в табл. 2.

Таблица 2
Экспериментальные значения компонент тензоров СТВ
(магнитного и ГЭП) для A - и B -позиций

Тензоры магнитного СТВ			Тензор ГЭП		
B -позиция, МГц		A -позиция, МГц	B -позиция, МГц		A -позиция, МГц
75.23 ± 0.15	1.25	0.95	74.5	0.3	0.3
1.25	75.23 ± 0.3	1.25	0.3	74.5	0.3
0.95	1.25	75.23 ± 0.15	0.3	0.3	74.5

Таким образом, основной вывод настоящего исследования распределения ионов Cr^{3+} в $\text{Li}_{0.5}\text{Fe}_{2.5-x}\text{Cr}_x\text{O}_4$ методом ЯМР сводится к тому, что ионы хрома в литиевой шпинели занимают как октаэдрические, так и тетраэдрические позиции.

Авторы выражают благодарность А. Р. Прокопову за синтез образцов.

Список литературы

- [1] Гортер Е. В. // УФН. 1955. Т. 57. № 3. С. 435—483.
- [2] Gill Navdeep, Puri R. K. // Spectrochim. acta. 1965. V. A41. N 8. P. 1005—1006.
- [3] Dommann J. L. // Revue Phys. Appl. 1980. V. 15. P. 1113—1121.
- [4] Doroshev V. D., Klochan V. A., Kovtun N. M., Seleznev V. N. // Phys. Stat. Sol. (a). 1972. V. 9. P. 679—689.
- [5] Абеляшев Г. Н., Бержанский В. Н., Сергеев Н. А., Федотов Ю. В. // ЖЭТФ. 1988. Т. 94. № 1. С. 227—237.
- [6] Дрокин А. И., Метляев Т. Н., Иванова А. В., Абеляшев Г. Н., Щербаков В. Н., Шемяков А. А. и Червенчук Л. П. // Изв. АН СССР, сер. физ. 1981. Т. 45. № 9. С. 1631—1634.

Симферопольский государственный
университет им. М. В. Фрунзе

Поступило в Редакцию
11 ноября 1990 г.